

ΚΕΦΑΛΑΙΟ 5

	Σελίδα
Κυκλώματα DC Πόλωσης – Μη Γραμμική Λειτουργία	
• Σκοπός του Κυκλώματος DC-Πόλωσης	5- 1
• Λειτουργία Μικρού και Μεγάλου Σήματος	5- 3
• Σημείο Λειτουργίας – Τάξεις Ενισχυτών	5- 4
• Παθητικά Κυκλώματα Πολωτή FET BJT BJT	5- 5
• Παθητικά Κυκλώματα Πολωτή BJT	5- 9
• Ενεργά Κυκλώματα Πολωτή BJT	5-10
• Μη Γραμμική Συμπεριφορά Ενισχυτών	5-11
• Προϊόντα Ενδοδιαμόρφωσης	5-12
• Σημεία Τομής 2 ^{ας} και 3 ^{ης} Τάξης	5-15

Κυκλώματα d.c. Πόλωσης

Σκοποί :

- Θέτουν - καθορίζουν το d.c. σημείο λειτουργίας (ηρέμια) του τρανζίστορ.
- Να σταθεροποιεί το σημείο λειτουργίας αντισταθμίζοντας τυχόν μεταβολές στη θερμοκρασία ή στις παραμέτρους του τρανζίστορ. (Συνήθως με καταλληλή αναδραστήριση).

• Πρέπει επίσης να απομονώνουν το d.c. από το a.c. (τ.φ) κύκλωμα.

Η επιλογή του σημείου λειτουργίας εξαρτάται από :

1. Τον τύπο της εφαρμογής : Ενισχυτής χαμηλού - δυναμικού (LNA), Υψηλού - κέρδους, Υψηλής - ισχύος (HPA).
2. Την τάση λειτουργίας του Ενισχυτή : τάση - A, τάση - AB, τάση - B, τάση - C
3. Τον τύπου του τρανζίστορ : Διπολικό ή FET

Πόλωση Τρανζίστορ FET (Lias βελ. 126-127)

- Εφαρμόζεται αρνητική d.c. τάση πόλωσης μεταξύ πύλης - πηγής $V_{gs} < 0$ δηλαδή η πύλη να είναι σε αρνητικότερο δυναμικό ως προς την πηγή, $V_p < V_{gs} < 0$, όπου $V_{gs} =$ τάση στραγγαλισμού (pinch-off)

- Εφαρμόζεται θετική τάση μεταξύ αγωγού - πηγής $V_{ds} > 0$

Προσοχή! Για να αποφευχθεί η καταστροφή του FET (MESFET) κατά την έναρξη της λειτουργίας του πρέπει πρώτα να εφαρμοσθεί αρνητική τάση στην πύλη και μετά να εφαρμοσθεί η θετική τάση στον αγωγό.

→ Αν χρησιμοποιούνται δύο πηγές πρέπει πρώτα να τεθεί σε λειτουργία η $V_{gs} < 0$ και μετά η $V_{ds} > 0$.

→ Είναι προτιμώτερο να προστίθεται στις δύο τροφοδοσίες :

- Κύκλωμα με μεγάλη σταθερά χρόνου στην V_{ds}

- -||- -||- μικρή -||- -||- στην V_{gs}

Σταθερά χρόνου : Πυκνωτής $\tau = RC$ Πηνίο $\tau = L/R$

→ Εάν η πηγή (S) του FET συνδέεται κατακόρυφα στη γείωση, τότε η αντεπαγωγή στον ακρόδεκτη αυτό πρέπει να είναι όσο το δυνατό μικρότερη \Rightarrow χαμηλός δυνατός, υψηλό κέρδος και ισχύς για f_{3dB}

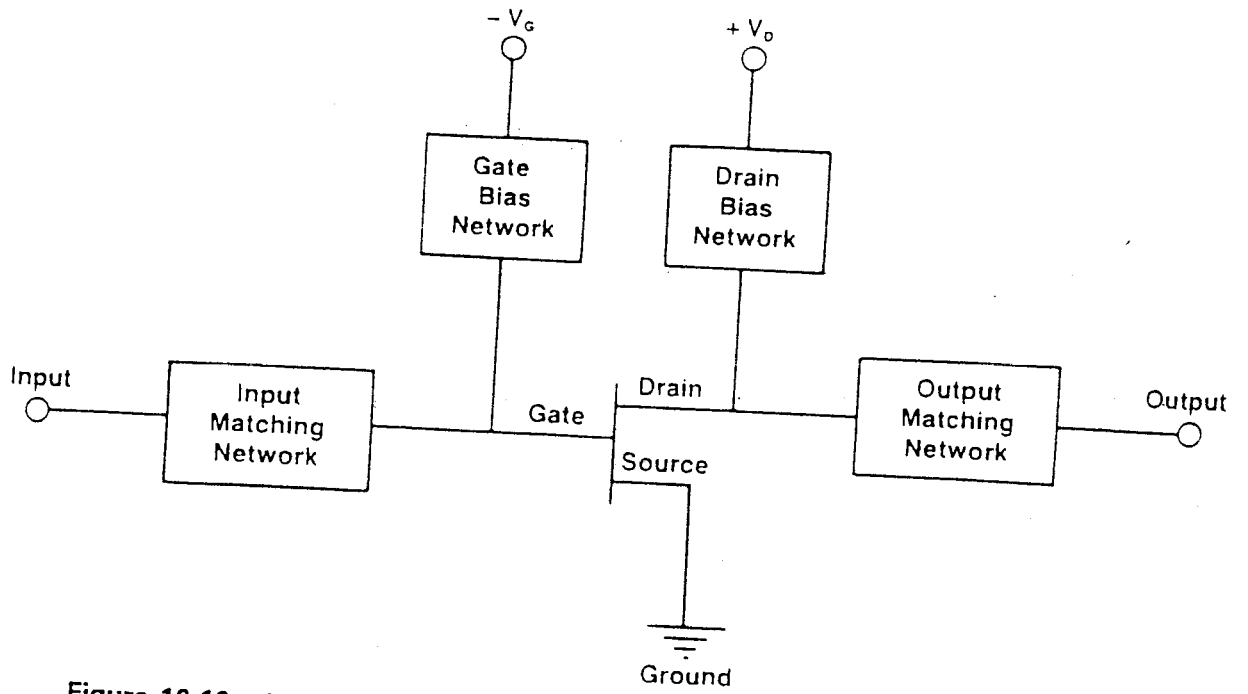
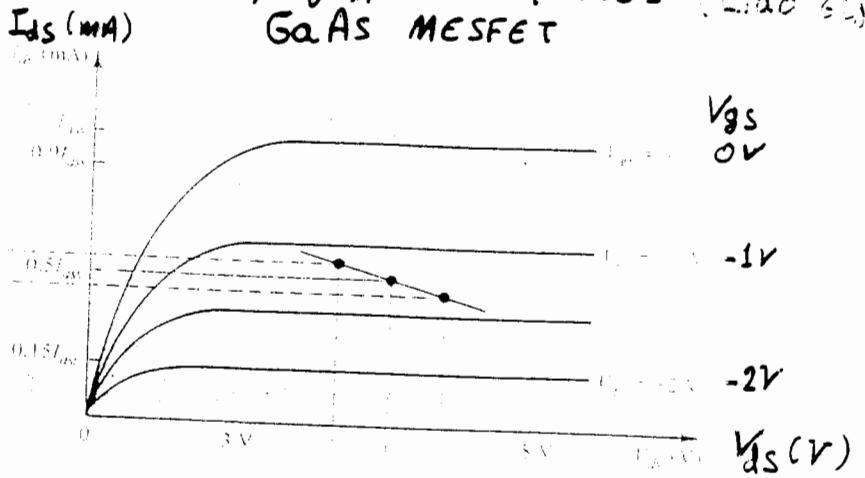


Figure 10.10 A single-stage common-source MESFET amplifier block diagram.

Bhartia

Λειτουργία μικρού- και μεγάλου- σήματος (Liao 6.12.3) GaAs MESFET

Λειτουργία μικρού-
- σήματος \Rightarrow



Βέλτιστη Αγωγιμότητα
Φορτίου = κλίση ευθείας
φορτίου = $\frac{\partial I_{ds}}{\partial V_{ds}} = G_L = \frac{1}{R_L}$



Figure 4-0-1. Small-signal operation of microwave amplifier.

Λειτουργία μεγάλου- σήματος

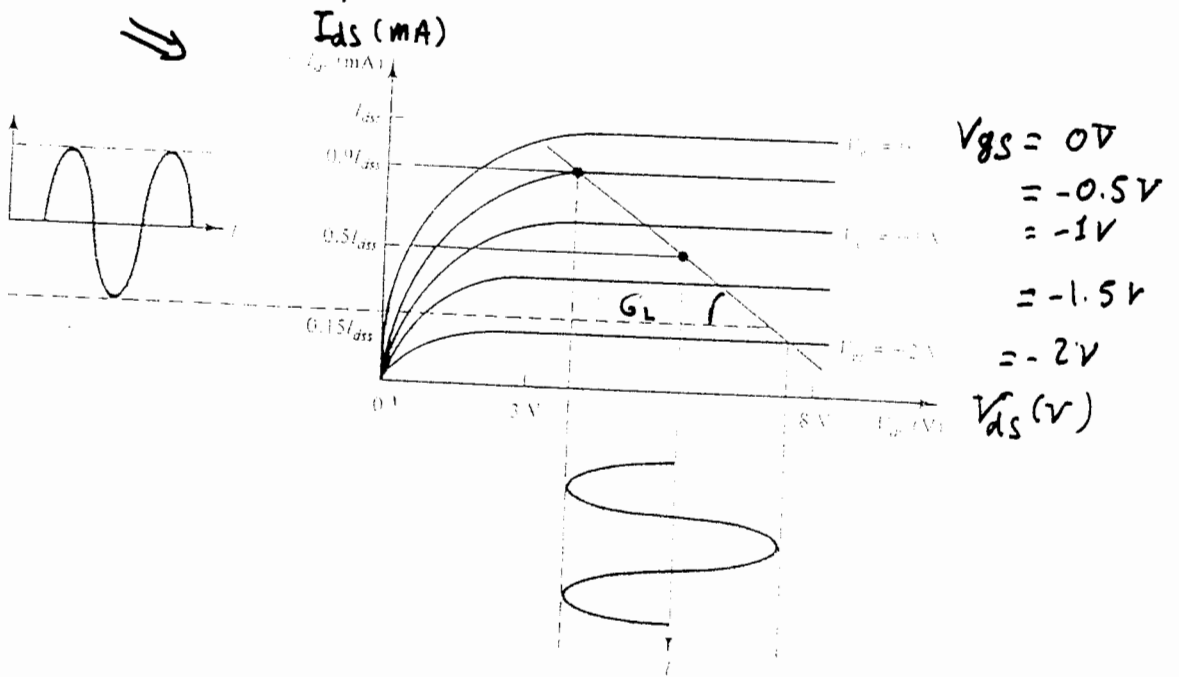


Figure 4-0-2. Large-signal operation of microwave amplifier. (Liao 6.12.3)

Μεγάλο σήμα εισόδου \Rightarrow Η τάση V_{gs} εισέρχεται στη μη-γραμμική περιοχή οπότε και το ρεύμα εισόδου τείνει να φθάσει στην μέγιστη τιμή του (I_{DSS}). \rightarrow Αυτήν I_{DSS} \rightarrow $P_{out} = I_{DSS}^2 R_L = I_{DSS}^2 / G_L$ \rightarrow μείωση I_{DSS} \rightarrow μείωση G_L

Αύξηση της ισχύος εξόδου \leftrightarrow μείωση G_L \leftrightarrow Αύξηση της κλίσης φορτίου \rightarrow μείωση I_{DSS} \rightarrow ρεύμα κορεσμού για $V_{gs} = 0V$.

Επιλογή Σημείου Λειτουργίας (Liao 9.125)

Το ασφαρές σημείο λειτουργίας ενός GaAs FET ορίζεται από:

- Μέγιστη τάση απαγωγού - πηγής $V_{DS, max}$
- Μέγιστο ρεύμα απαγωγού - πηγής $I_{DS, max} = I_{DSS}$
- Μέγιστη ισχύς σήματος εισόδου \rightarrow εφαρμόζεται στην αύλη
- Μέγιστη καταναλωθείσα ισχύς στη μέγιστη θερμοκρασία ελασής $175^\circ C$

GaAs - FET, $I_{DSS} = 80 \text{ mA}$, $f = 2 \text{ έως } 20 \text{ GHz}$

Εφαρμογή Ενισχυτή	Τάση V_{DS} (V)	Ρεύμα I_{DS}	I_{DS} / I_{DSS} (%)
Υψηλής Ισχύος (HPA)	$\geq 10 \text{ V}$	40 mA	50%
Υψηλού Κέρδους	5 V	80 mA	$\approx 90\% \leftarrow$
Χαμηλού Θορύβου (LNA)	3.5 V	10 mA	$\approx 15\% \leftarrow$
Χαμηλής Παραμόρφωσης	$\geq 10 \text{ V}$	40 mA	50%
Ενισχυτής Τάσης - B	$\geq 8 \text{ V}$	\emptyset	$\sim 30\%$

Τιμές Ασφαλείας \rightarrow Συνήθως Ελαστική \rightarrow

Μικροκυματικά Διπολικά Τρανζίστορ Πυριτίου ($f \leq 3 \text{ GHz}$)

Το ασφαρές σημείο λειτουργίας ενός μικροκυματικού BJT ορίζεται από τρεις εφής παράγοντες:

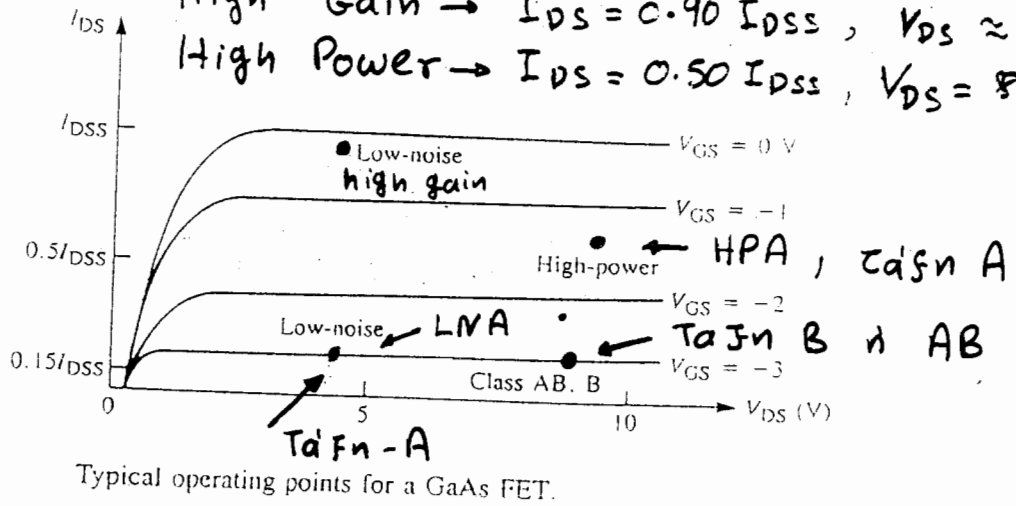
- Μέγιστη τάση συλλέκτη - εκπομπού $V_{CE, max}$
- Μέγιστο ρεύμα - - - - - $I_{CE, max}$
- Secondary breakdown
- Μέγιστη καταναλωθείσα ισχύς στη μέγιστη θερμοκρασία ελασής $200^\circ C$

Εφαρμογή Ενισχυτή	Τάση V_{CE} (V)	Ρεύμα I_{CE}
Υψηλής Ισχύος (HPA)	20 V	25 mA
Υψηλού Κέρδους	10 V	10 mA
Χαμηλού Θορύβου (LNA)	10 V	3 mA
Χαμηλής Παραμόρφωσης	$\geq 20 \text{ V}$	25 mA
Ενισχυτής Τάσης B	$\geq 20 \text{ V}$	\emptyset
Ενισχυτής Τάσης C	$\geq 28 \text{ V}$	\emptyset

Τιμές ασφαλείας \rightarrow

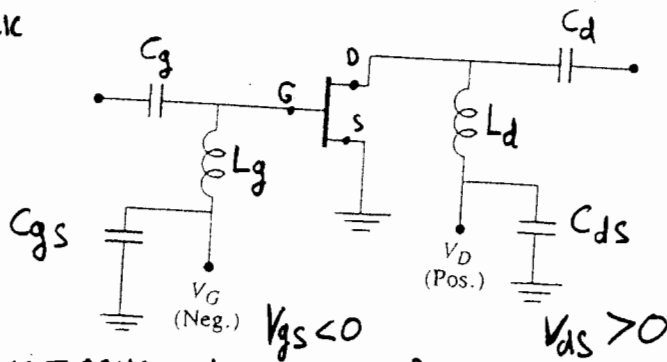
Επιλογή Γαλλίου Πόλης - ηρέκτας (Po Zar σελ. 632) (Ha σελ. 71)

LNA $\rightarrow I_{DS} = 0.15 I_{DSS}, V_{DS} \approx 3V$
 High Gain $\rightarrow I_{DS} = 0.90 I_{DSS}, V_{DS} \approx 3V$
 High Power $\rightarrow I_{DS} = 0.50 I_{DSS}, V_{DS} = 8 \text{ έως } 10V$



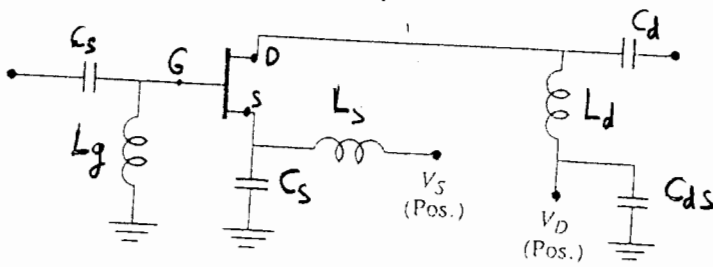
Πόλωση με διπολικό (bipolar) d.c. τροφοδοτικό

$C_g, C_d = \text{dc-block}$



Σταθ. χρόνο
 $\tau_{gs} < \tau_{ds}$
 $\tau = RC$
 $C_{gs} < C_{ds}$

Πόλωση με μονοπολικό d.c. τροφοδοτικό



Πρώτα ελεγχόμαστε:
 1. V_G και μετά
 2. V_D

FET biasing circuits. (a) Using a bipolar supply. (b) Using a single-polarity supply.

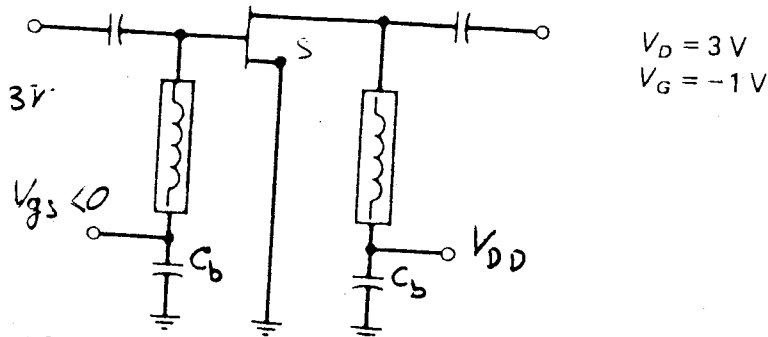
(Po Zar σελ. 632-633) + (Lian σελ. 127)

- Οι πυκνωτές παράκαμψης στην πηγή (S) πρέπει να είναι πολύ καλής ποιότητας (μικρές απώλειες). Οποιαδήποτε αντίσταση (ή αντεπαγωγή) στην πηγή προκαλεί μείωση των δείκτην δορύβα

Κυκλώματα Πόλων (Liao βιβ. 126-127, Bhartia βιβ. 500-501)

1) Διπολικό d.c. τροφοδοτικό

- Τυπικές τάξεις $V_{GS} = -1V$, $V_{DS} = 3V$
- Χαρακτηριστικά χαμηλού θορύβου, υψηλά κέρδη, υψηλή ισχύς και υψηλή απόδοση.



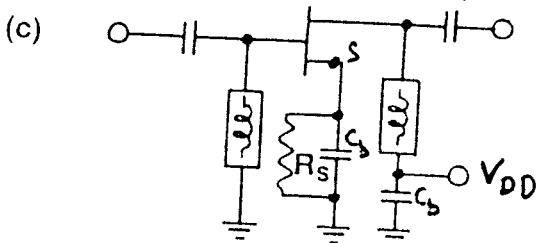
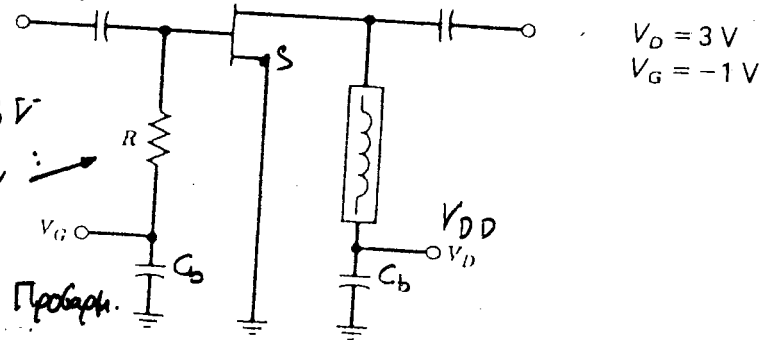
- Το κύκλωμα πόλων αποτελεί τμήμα του κυκλώματος προσαρμογής
- Είναι σχετικά ανεύρωτο ως προς τρέψα πάλιν

2)

- Τυπικές τάξεις $V_G = -1V$, $V_D = 3V$

- Χαρακτηριστικά: Σχετικά χαμηλό θόρυβο, υψηλά κέρδη, ισχύς, απόδοση

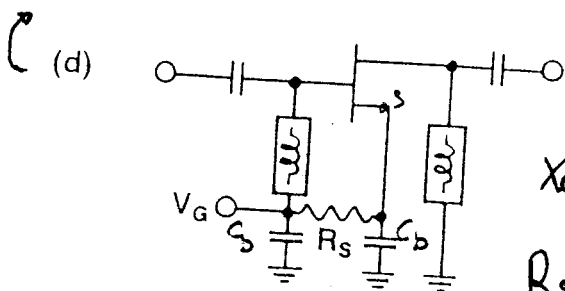
- Το κύκλωμα πόλων αποτελεί μέρος του προσαρμ.
- Μεγάλη τιμή ως $R \Rightarrow$ υψηλότερη απομόνωση αύτης και τροφοδοσίας
- Ανεπηρεάζεται από μεταβολές του ρεύματος πάλιν



$V_D = 4V$
 $I_{BS}R_S = 1V$ } Τυπικές τιμές

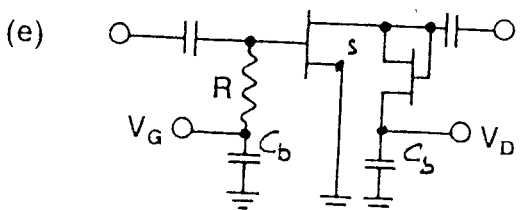
- Χαρακτηριστικά: Σχετικά χαμηλό θόρυβο, υψηλά κέρδη, μέτρια ισχύς, χαμηλ. απόδ.
- $R_S \rightarrow$ αυτόματη προσαρμογή από μεταβατικές τάσεις κ. π. π.
- Ευαίσθητο στις μεταβολές του I_{DS}

Μονοπολικό d.c. τροφοδοτικό



$V_G = -4V$
 $I_{BS}R_S = 1V$ } Τυπικές τιμές

- Χαρακτηριστικά: Σχετικά χαμηλό θόρυβο, υψηλά κέρδη, μέτρια ισχύς, χαμηλή απόδοση.
- $R_S \rightarrow$ προσαρμογή από μεταβατικές τάσεις κ. π. π.
- Ευαίσθητο στις μεταβολές του I_{DS}



$V_D = 5V$
 $V_G = -1V$ } Τυπικές τιμές

- Χαρακτηριστικά: Μεγάλου θορύβου, υψηλά κέρδη, μεγάλης ισχύς, χαμηλή απόδοση.

Bhartia

- Ευρείας ζώνης στις χαμηλές συχνότητες
- Ευαίσθητο στο ρεύμα I_{DS}

Κατασκευαστικά στοιχεία κυκλωμάτων Πόλωσης. (Liao σελ 128)

1. Όλες οι αυτεπαγωγές δρουν σαν "Αποσπαστικά Πηνία"
RFC, rf-choke : κατασκευάζονται σαν 2 ή 3 βελίρες γαλβανισμένου χαλκινού σύρματος no. 36 με διάμετρο 0.1 ιντσες (αυρήνας αέρα)
2. Πυκνωτές παράκαμψης πηγής (bypass) C_s ή C_b
Liao : $C_s = 0.01 \mu F = 10 nF$; Χρειάζονται τόσο υψηλές τιμές μόνο για τις χαμηλές μικροκ. συχνότητες.
Βιάρτια Gen. 502 : $C_s = 50 pF$; Είναι ικανοποιητικής κλίμακας για υψηλές μικροκ. συχνότητες.
 $C_s = 100 pF$ Προτιμώτερον για μεγάλες μικροκ. συχνότητες.
Σε κάθε περίπτωση να έχει ονομαστική τάση 100 V
3. Πυκνωτές d.c. - μπλοκ \rightarrow ίδιοι όπως και οι παράκαμψης.
4. Ωμική αντίσταση πηγής R_s : Επιλέγεται ή ρυθμίζεται εστί ώστε να δίνει το κατάλληλο ρεύμα I_{ds} που αντιστοιχεί στο σημείο ηρέμιας που εκεί επιλέγεται :
Σημείο ηρέμιας (I_{ds}, V_{ds}) \rightarrow
 \rightarrow d.c. Ισοδύναμο κύκλωμα \rightarrow υπολογισμός των R_s
π.χ. (C) $\rightarrow V_{DD} = V_{DS} + I_{ds} R_s \rightarrow R_s = (V_{DD} - V_{DS}) / I_{ds}$

Ευίσχυτες Ισχύος: (HPA)

- Το ρεύμα I_{ds} είναι μεγάλο $I_{ds} > 500 mA$
- Είναι προτιμώτερη η d.c. πηγή τροφοδοσίας διπλής πολικότητας. Πρώτα εφαρμόζεται η $V_g < 0$ και μετά η $V_d > 0$, αλλιώς ο ευίσχυτης μπορεί να οδηγηθεί στον κορεσμό και το ρεύμα I_{dss} μπορεί να κόψει το τρανζίστορ.

Αντίσταση Πηγής R_s

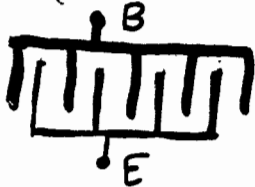
- (+) Προσφέρει προστασία ως προς τα μεταβατικά φαινόμενα
- (-) α) Προκαλεί μείωση της ασόδοτης αξίας ενός μερος της ισχύος τροφοδοσίας ($I_{ds}^2 R_s$) καταναλώνεται σ' αυτήν
- (-) β) Χειροτερεύει το δείκτη θερμότητας \rightarrow ακατάλληλη για LNA

Μικροκυματικά Διπολικά Τρανζίστορ πυριτίου (Si-BJT)

- Συχνότητες $f > 4 \text{ GHz}$ κυριαρχούν τα GaAs-FET (π.χ. 73-) αφού παρουσιάζουν χαμηλότερο θόρυβο, υψηλότερο κέρδος, υψηλότερο f_{max} .
- Συχνότητες $f < 4 \text{ GHz}$ χρησιμοποιούνται κυρίως διπολικά τρανζίστορ πυριτίου (Si-BJT)

Μικροκυματικά Si-BJT:

- Όλα τα μικροκυματικά Si-BJT είναι τύπου N-P-N και κατασκευάζονται με "κατά επίπεδα - επιταφιακή διαδικασία"
- Απαιτείται ιδιαίτερη προσοχή στα κατασκευαστικά στοιχεία αν περιορίσουν την υψηλότερη συχνότητα λειτουργίας f_{max}
 $f_{\text{max}} \propto 1/(\text{επιφανειακή εκπομπή}), 1/(\text{αποστάση εκπομπών-βάσης})$
- Ορα ιδιαίτερη προσοχή → πλάτος εκπομπών, απόσταση των επιφανειακών εκπομπών-βάσεων και στην επιφάνεια του συλλέκτη.
- Η οριζοντία τμήση δείχνει τις επαφές εκπομπών βάσης να έχουν την μορφή επικαλυπτόμενων δακτύλων (interdigitated).



→ Μέγιστο κέρδος για λειτουργία μικρά σήματος (διασπείριση ισχύος)

$$\text{GaAs-FET και Si-BJT} \quad G_{a, \text{max}} \approx \left(\frac{f_{\text{max}}}{f} \right)^2$$

Επιπλέον το κέρδος (G_a) μειώνεται κατά 6dB/οκτάβα με την συχνότητα
Μια οκτάβα: $f \rightarrow 2f$ τότε $G_a \rightarrow G_a/4 \Rightarrow G_a(\text{dB}) - 6\text{dB}$

Θόρυβος Διπολικών Τρανζίστορ

- Ο δείκτης θορύβου είναι χειρότερος (μεγαλύτερος) στα Si-BJT από αυτά των GaAs FET: $(F_n)_{\text{Si-BJT}} > (F_n)_{\text{GaAs-FET}}$ για $f \gtrsim 2 \text{ GHz}$
- Ο θόρυβος στα BJT είναι κυρίως θερμικός και οφείλεται κυρίως στην ωμική αντίσταση των υποστρώματος

Κυκλώματα Πόλωσης Μικροκυματ. Κιν Si-BJT

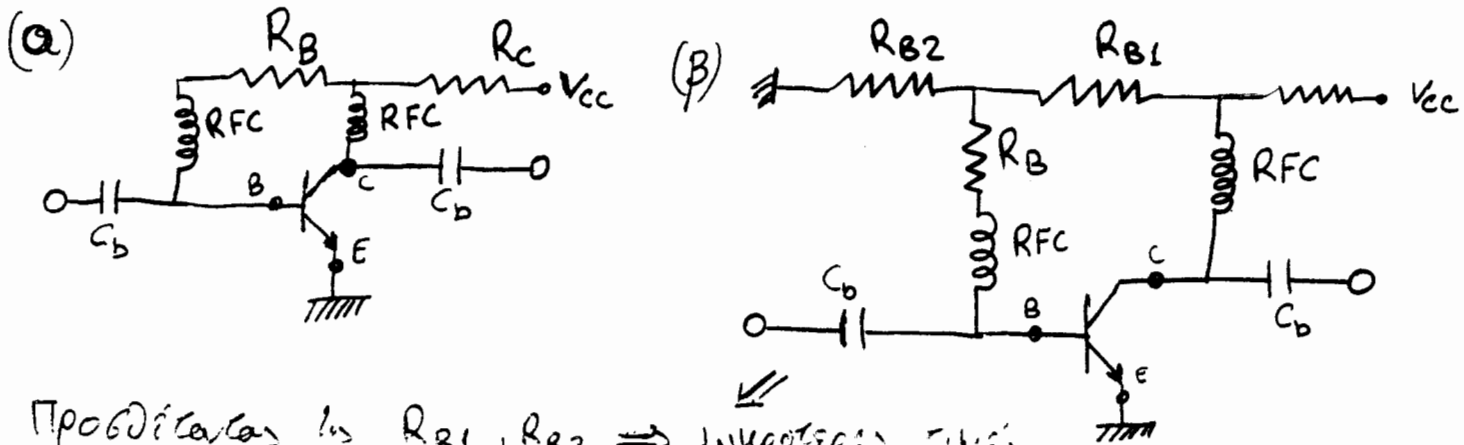
(Ηα, Γεγ. 78)

• Το κύκλωμα πόλωσης πρέπει να μπορεί να διατηρεί το σημείο ηρέμιας σταθερό αντισταθμίζοντας τις επιδράσεις των μεταβολών της θερμοκρασίας

Παράμετροι BJT ευαίσθητες στις μεταβολές της θερμοκρασίας

- 1) V_{BE} τάση στα άκρα της κυπτιλικότητας ελασής Β-Ε: $V_{BE}(\theta + \Delta\theta) = V_{BE}(\theta) \cdot [1 + \alpha \cdot \Delta\theta]$ με συντελεστή θερμοκρασίας $-2 \text{ mV}/^\circ\text{C}$
- 2) I_{CBO} ρεύμα διαρροής που ρέει μέσα από την αναστροφή πολωμένη επαφή p-n $I_{CBO} \propto \Delta\theta$, αυξάνεται γραμμικά με την αύξηση της θερμοκρασίας.
- 3) β το d.c. κέρδος ρεύματος, αυξάνει με την ^{αύξηση της} θερμοκρασίας με ρυθμό $5\%/^\circ\text{C}$ \leftrightarrow προκαλεί αντίστοιχη αύξηση στο ρεύμα συλλέκτη

Παθητικά Κυκλώματα Πόλωσης Si-BJT



Προβλήματα με $R_{B1}, R_{B2} \Rightarrow$ μικρότερες τιμές αντίστασεων που είναι πιο κατάλληλες για τα υβριδικά κυκλώματα

• Τα κυκλώματα αυτά αντισταθμίζουν τις επιδράσεις της θερμοκρασίας. π.χ. αύξηση του $\beta \nearrow$ τότε αύξηση του $I_{CE} \nearrow$ αυτό προκαλεί μεγαλύτερη πτώση τάσης στον $R_C \Rightarrow$ μικρότερη πτώση τάσης στον $R_B \Rightarrow$ μικρότερο ρεύμα $I_B \searrow \Rightarrow$ μείωση του $I_{CE} \searrow$; Αντιστάθμιση της αύξησης του

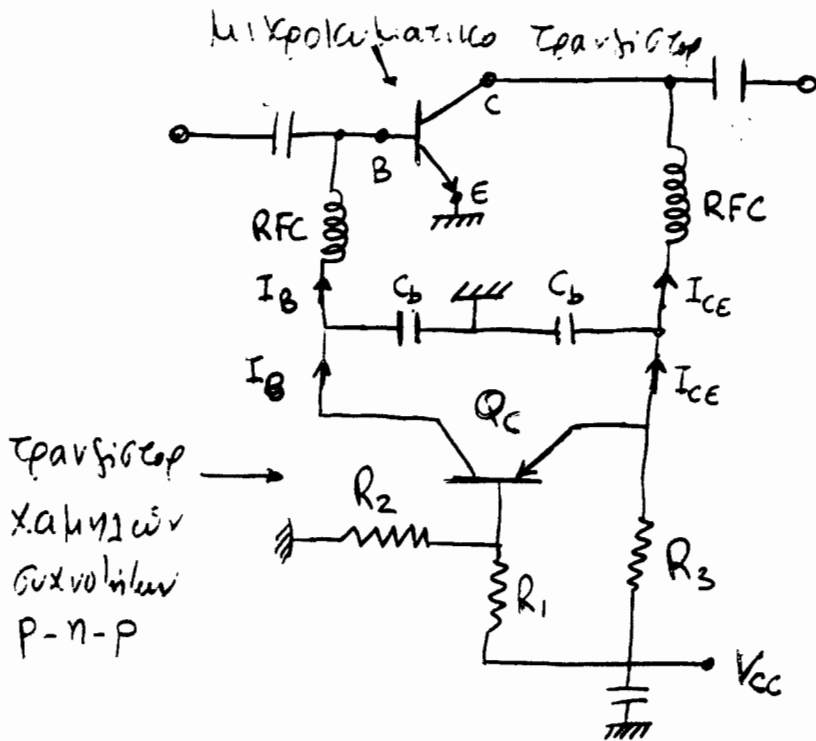
Παράδειγμα Σχήμα (α) \Rightarrow d.c. Ισοδύναμο: Πηνία \rightarrow βραχυκ. Πυκνωτές \rightarrow ανοικτάκ.

Δεδομένα: Σημείο ηρέμιας $V_{CE} = 5V, I_{CE} = 5 \text{ mA}$, Τροφοδοσία $V_{CC} = 15V$

Δύση: και: $V_{BE} = 0.7V, \beta = 50$ και υποθέτουμε $I_{CBO} = 0$
 Ρεύμα βάσης $I_B = I_C / \beta = 0.1 \text{ mA}$ αντίστοιχη βάση $R_B = (V_{CC} - V_{BE}) / I_B = 43 \text{ k}\Omega$
 Αντίσταση συλλέκτη: $R_C = (V_{CC} - V_{CE}) / I_{CE} = 2 \text{ k}\Omega$ Παλιό μέγιστο

Ενεργό κυκλώματα πόλωσης Si-BJT

(Ha, Gra, 79-80)



Το ενεργό κύκλωμα πόλωσης είναι ουδιστικά ένας βρόχος αναδράσης που ανιχνεύει το ρεύμα I_{CE} του μικροκυματικού τρανζίστορ και ρυθμίζει το ρεύμα bias του I_B ώστε το I_{CE} να μείνει σταθερό.

- Ο διαίρετης τάσης R_1, R_2 επιλέγεται έτσι ώστε να δίνει την επιθυμητή V_{CE} στο μικροκυματικό τρανζίστορ.
- Η αντίσταση R_3 καθορίζει το ρεύμα συλλεκτή I_{CE} του μικροκυματικού τρανζίστορ.
- Πυκνωτές $C_b \rightarrow$ πυκνωτές δf παράκαμψης.
- Πειραγμία: αύξηση $I_{CE} \uparrow \Rightarrow$ αύξηση της πώσης τάσης στην $R_3 \Rightarrow$ μείωση του ρεύματος εκπομπών του p-n-p τρανζίστορ ελέγχου Q_c , δηλαδή μείωση $I_B \downarrow \Rightarrow$ μείωση $I_{CE} \downarrow$.
- Φθάνουμε στην μόνιμη κατάσταση (ισορροπία) όταν:
 $(I_{CE} + I_B)_{\text{μικροκυμ. τρανζ.}} = \text{ρεύμα μέσα από την } R_3$

Εφαρμογές + Σύγκριση:

- Τα παθητικά κυκλώματα πόλωσης είναι φθηνά και δίνουν ικανοποιητική αντίσταθμιση θερμοκρασίας για μικρές οφως μεταβολές των d.c. ρεύματος πόλωσης, (ή μεταβολές του β)
- Για μεγάλες μεταβολές των d.c. κέρδους β ή I_{CE} απαιτείται ενεργό κύκλωμα πόλωσης.
- Το ενεργό κύκλωμα πόλωσης δίνει καλύτερη σταθερότητα του σημείου ηρέμιας \rightarrow προτιμώτερο για εφαρμογές LNA και HPA

Μη - γραμμική συμπεριφορά ενισχυτών: (Βάρδια 624-496)

- Σημείο συμπίεσης 1dB, P_{1dB}

P_{1dB} = Ισχύς Εξόδου του ενισχυτή που αντιστοιχεί στο σημείο της χαρακτηριστικής (P_{out}, P_{in}) όπου το κέρδος μειώνεται κατά 1dB ως προς την γραμμική απόκριση.

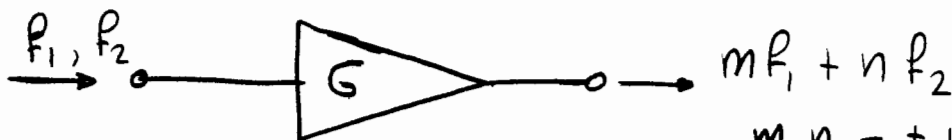
Συνήθως το κέρδος μειώνεται πολύ γρήγορα για ισχύεις εξόδου πάνω από την P_{1dB} και φθάνει σε πλήρη κορεσμό μέσα σε 3-4 dB (πάνω από την P_{1dB})

Η P_{1dB} προσδιορίζεται με τη βοήθεια μετρήσεων.

- Προϊόντα Ενδοδιαμόρφωσης

- Εφαρμόζονται στην είσοδο του ενισχυτή (ταυτόχρονα) δύο (τόνοι) σήματα με κοντινές συχνότητες f_1, f_2 (όπου $f_2 - f_1 = 5$ μέχρι 10 MHz).

- Στην έξοδο του ενισχυτή εμφανίζονται τα σήματα f_1, f_2 καθώς και τα προϊόντα ενδοδιαμόρφωσης (IM), Intermodulation products, στις συχνότητες $m f_1 + n f_2$



$$m, n = \pm 1, \pm 2, \pm 3, \dots$$

$(m+n)$ = τάξη των προϊόντων ενδοδιαμόρφωσης

Η σχετική εντάξη των προϊόντων ενδοδιαμόρφωσης εξαρτάται από την μορφή της χαρακτηριστικής του ενισχυτή.

- Προϊόντα IM τρίτης τάξης $|m| + |n| = 3$: $2f_1 - f_2, 2f_2 - f_1$
Έχουν συχνότητες πολύ κοντά στους βασικούς τόνους f_1, f_2 και υπερισχύουν των άλλων IM στα μεγάλα επίπεδα κορεσμού.
- Προϊόντα IM δεύτερας τάξης $f_2 - f_1, f_2 + f_1$
Μπορεί να έχουν πολύ σημαντική επίδραση στους ενισχυτές ευρείας ζώνης (πολλών οκτώβαν), όταν βρίσκονται μέσα στο εύρος ζώνης

Σημείο Τομής 3ης τάξης (3rd order intercept point)

Ισχύς εξόδου που αντιστοιχεί στο σημείο τομής της εσπεκτικής των γραμμικών κέρδους με την εσπεκτική της ισχύος των IM 3ης τάξης

Ισχύς Προϊόντων Ενδοδιαμόρφωσης

Συναρτήσει της ισχύος εισόδου

Πλάτος Προϊόντων Ενδοδιαμόρφωσης:

Υποθέστε ότι το πλάτος των δυο τόνων f_1 και f_2 είναι ίδιο

$$A = B \quad \text{Πλάτος } IM_2 = A_{IM_2} \propto A^2$$

$$\text{Πλάτος } IM_3 = A_{IM_3} \propto A^3$$

Ισχύς Προϊόντων Ενδοδιαμόρφωσης: IM

Ισχύς Εισόδου: $P_{in} \propto A^2$

$$\text{Ισχύς } IM_2 = P_{IM_2} \propto A_{IM_2}^2 \propto (A^2)^2 \quad \left. \vphantom{P_{IM_2}} \right\} P_{IM_2} \propto P_{in}^2$$

$$\text{Ισχύς } IM_3 = P_{IM_3} \propto A_{IM_3}^2 \propto (A^3)^2 \quad \left. \vphantom{P_{IM_3}} \right\} P_{IM_3} \propto P_{in}^3$$

Συσχέτιση ισχύος IM και ισχύος εισόδου σε dB

$$P_{IM_2} \propto P_{in}^2 \Rightarrow P_{IM_2} (dB) \propto 2 \cdot P_{in} (dB) \rightarrow \text{Ευθεία dB/dB}$$

Δηλαδή η κλίση της γραμμής παραστάσεως ($P_{IM_2} (dB)$, $P_{in} (dB)$) θα είναι $(2 dB)_{IM_2}$ ανά $(1 dB)_{in} \rightarrow 2 dB/dB$

$$P_{IM_3} \propto P_{in}^3 \Rightarrow P_{IM_3} (dB) \propto 3 \cdot P_{in} (dB) \rightarrow \text{Ευθεία dB/dB}$$

Δηλαδή η κλίση της γραμμής παραστάσεως ($P_{IM_3} (dB)$, $P_{in} (dB)$) θα είναι $(3 dB)_{IM_3}$ ανά $(1 dB)_{in} \rightarrow 3 dB/dB$

Ισχύς Εξόδου βασικής Αρμονικής

$$P_{out} \propto P_{in} \Rightarrow \text{Κλίση γραμμής περιοχής } (1 dB)_{out} / (dB)_{in}$$

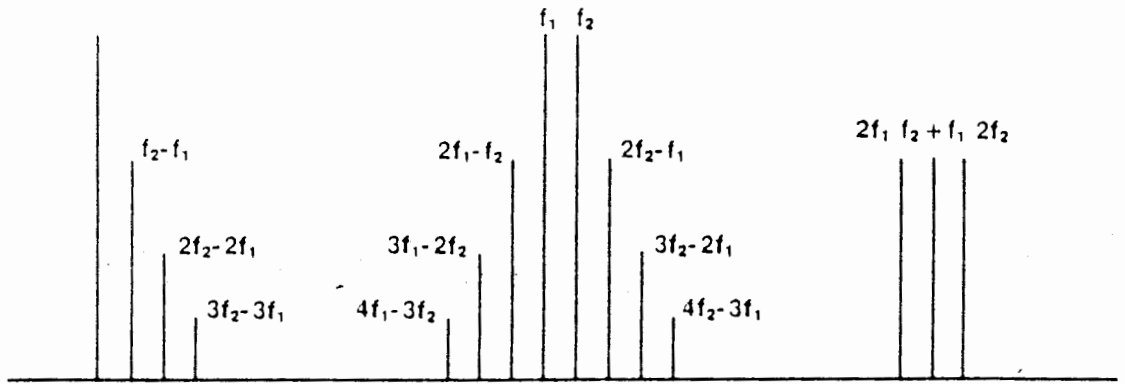


Figure 10.8 A schematic spectrum showing two signals at frequencies f_1 and f_2 and their intermodulation products.

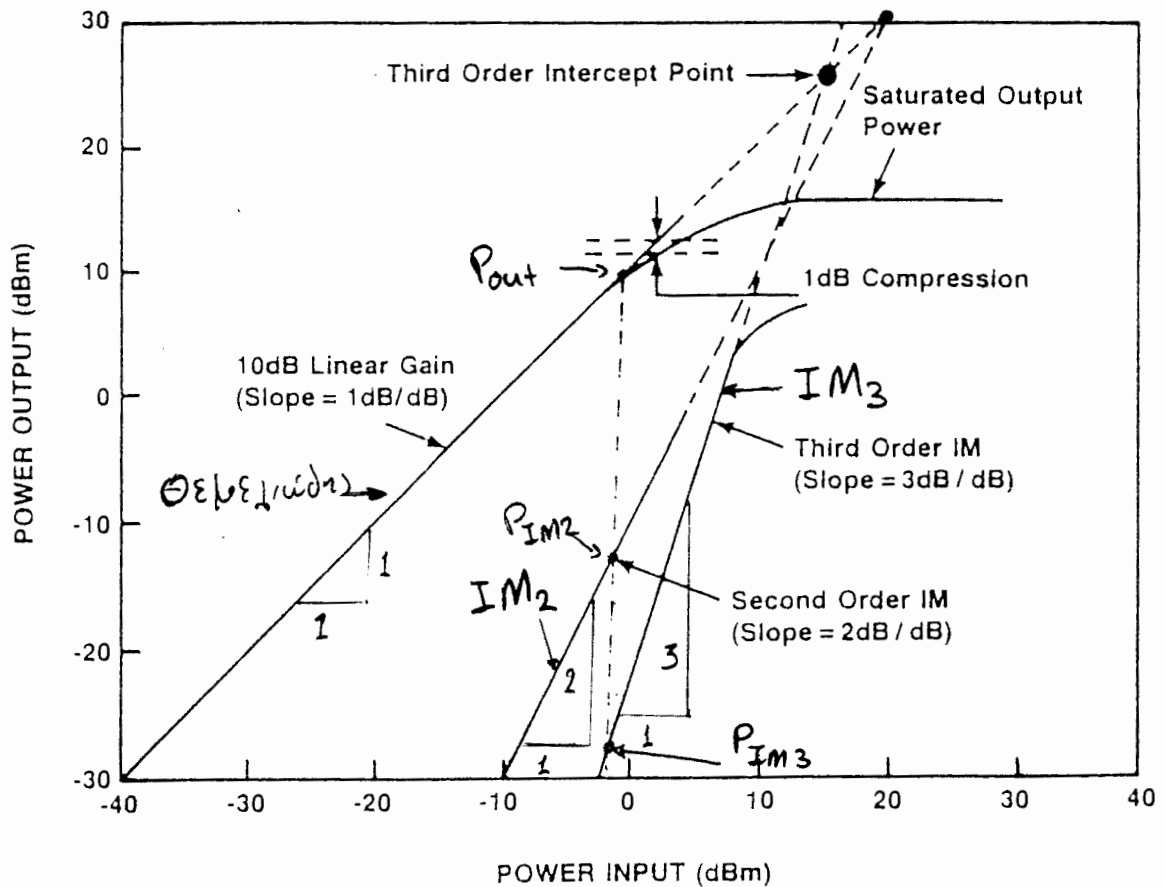


Figure 10.9 The variation of output power and intermodulation products with input power for a nonlinear amplifier.

Bhartin

Προβλεπτικός Προϊόντων Ενδοδιαμόρφωσης

• Έστω ότι εφαρμόσουμε δύο τόνους στην είσοδο f_1, f_2

Σήμα είσοδου: $x = A \cos(\omega_1 t) + B \cos(\omega_2 t)$

(Motorola δt -transistors, σελ. 19-21) + (Ita, σελ. 205)

Συνάρτηση μεταφοράς Ενίσχυσης: $f(x)$

Μπορεί γενικά να αναπτυχθεί σε σειρά Taylor, για τις περιόδωτες περιπτώσεις μπορούμε να παραλείψουμε τους όρους τεταρτής (x^4) τάξης και των υψηλότερων τάξεων.

$$f(x) \approx k_1 x + k_2 x^2 + k_3 x^3$$

όπου k_1, k_2, k_3 σταθερές (κέρδος) για τους όρους 1^{ης}, 2^{ης}, 3^{ης} τάξης

Αντικαθιστώντας την έκφραση του x στην $f(x)$ και με τις ταυτότητες:

$$(a+b)^2 = a^2 + 2ab + b^2 \quad (a+b)^3 = a^3 + 3a^2b + 3ab^2 + b^3$$

$$\cos^2(\omega t) = \frac{1}{2} + \frac{1}{2} \cos(2\omega t) \quad \cos^3(\omega t) = \frac{3}{4} \cos(\omega t) + \frac{1}{4} \cos(3\omega t)$$

$$2 \cos(\omega_1 t) \cos(\omega_2 t) = \cos(\omega_1 + \omega_2)t + \cos(\omega_1 - \omega_2)t$$

$$3 \cos^2(\omega_1 t) \cos(\omega_2 t) = \frac{3}{2} \cos \omega_2 t + \frac{3}{4} \cos(2\omega_1 + \omega_2)t + \frac{3}{4} \cos(2\omega_1 - \omega_2)t$$

$$3 \cos(\omega_1 t) \cos^2(\omega_2 t) = \frac{3}{2} \cos \omega_1 t + \frac{3}{4} \cos(2\omega_2 + \omega_1)t + \frac{3}{4} \cos(2\omega_2 - \omega_1)t$$

Παίρνουμε για το Σήμα Έξοδου $y = f(x)$

$$y = f(x) = k_1 \cdot \{ A \cos(\omega_1 t) + B \cos(\omega_2 t) \} \quad \text{Γραμμική Ενίσχυση}$$

$$+ k_2 \cdot \frac{1}{2} \cdot \{ A^2 \cos(2\omega_1 t) + B^2 \cos(2\omega_2 t) \} \quad \text{όροι 2^{ης} αρμονικής}$$

$$IM_2 \Rightarrow + k_2 AB \{ \cos(\omega_1 + \omega_2)t + \cos(\omega_1 - \omega_2)t \} \quad \text{όροι αθροισ. & διαφ. συχνοτήτων}$$

$$+ k_2 \cdot \frac{1}{2} \cdot \{ A^2 + B^2 \} \quad \text{d.c. όροι}$$

$$+ k_3 \cdot \frac{3}{4} \cdot \{ A^3 \cos(\omega_1 t) + B^3 \cos(\omega_2 t) \} \quad \text{όροι αυτοσυστηρέων}$$

$$+ k_3 \cdot \frac{1}{4} \cdot \{ A^3 \cos(3\omega_1 t) + B^3 \cos(3\omega_2 t) \} \quad \text{όροι 3^{ης} αρμονικής}$$

$$+ k_3 \cdot \frac{3}{2} \cdot AB \cdot \{ B \cos(\omega_1 t) + A \cos(\omega_2 t) \} \quad \text{όροι αποβλαβών συχνοτήτων}$$

$$IM_3 \left[+ k_3 \cdot \frac{3}{4} \cdot AB \cdot \left\{ A \cos(2\omega_1 + \omega_2)t + B \cos(2\omega_2 + \omega_1)t + \right. \right. \\ \left. \left. + A \cos(2\omega_1 - \omega_2)t + B \cos(2\omega_2 - \omega_1)t \right\} \right] \quad \text{όροι ενδοδιαμόρφωσης}$$

ΠΡΟΣΟΧΗ!

αν $A=B \rightarrow IM_2 \propto A^2$

$IM_3 \propto A^3$

Εντοπισμός και χρήση των θηρίων τόνων 2^{ος} και 3^{ος} τάξης

A. Εντοπισμός των θηρίων τόνων 2^{ος} και 3^{ος} τάξης από μετρήσεις παραμόρφωσης σε συγκεκριμένη ισχύ εισόδου. Έστω ότι με δεδομένη ισχύ εισόδου P_{in} μετρήθηκαν η ισχύς εξόδου της βασικής αρμονικής P_{out} και των προϊόντων 2^{ου} τάξης P_{IM2} και 3^{ου} τάξης P_{IM3} .

Σημείο τόνου 2^{ου} τάξης \Rightarrow σημείο όπου η ισχύς εξόδου (γραμμική επέκταση) της θεμελιώδους και IM_2 γίνονται ίσες:

Έστω ότι αντισταθεί σε ισχύ εισόδου $P_{in} + \Delta P_2$ τότε:

$$P_{in} + \Delta P_2 \xrightarrow{\text{κλίση } 1 \text{ dB/dB}} P_{out} + \Delta P_2 \xrightarrow{\text{κλίση } 2 \text{ dB/dB}} P_{IM2} + 2 \Delta P_2$$

Άρα $P_{IP2} = P_{out} + \Delta P_2 = P_{IM2} + 2 \Delta P_2 \Rightarrow \boxed{\Delta P_2 = P_{out} - P_{IM2}}$

Έτσι: $IP_2 \rightarrow P_{IP2} = P_{out} + (P_{out} - P_{IM2}) \underline{\underline{\text{ή}}} P_{in} + (P_{out} - P_{IM2})$

Σημείο τόνου 3^{ου} τάξης: ομοίως: P_{IP3}

$$P_{in} + \Delta P_3 \xrightarrow{\text{κλίση } 1 \text{ dB/dB}} P_{out} + \Delta P_3 \xrightarrow{\text{κλίση } 3 \text{ dB/dB}} P_{IM3} + 3 \Delta P_3$$

Άρα: $P_{IP3} = P_{out} + \Delta P_3 = P_{IM3} + 3 \Delta P_3 \Rightarrow \boxed{\Delta P_3 = \frac{P_{out} - P_{IM3}}{2}}$

ή $IP_3 \rightarrow P_{IP3} = P_{out} + \left(\frac{P_{out} - P_{IM3}}{2}\right) \underline{\underline{\text{ή}}} P_{in} + \left(\frac{P_{out} - P_{IM3}}{2}\right)$

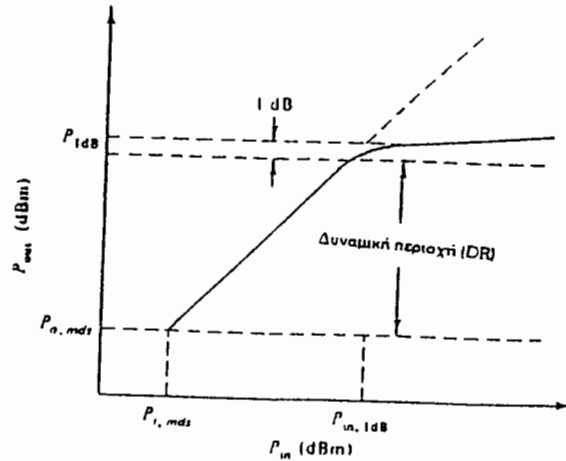
B. Γνωρίζοντας τα IP_2 , IP_3 βρείτε την Παραμόρφωση

Αυτό ισχύει μόνο αν είμαστε στην περιοχή των γραμμικών αποκρίσεων \rightarrow Πρακτικά είναι η περιοχή όπου τα προϊόντα IM έχουν ισχύ περίπου 60 dB κάτω από τη θεμελιώδη.

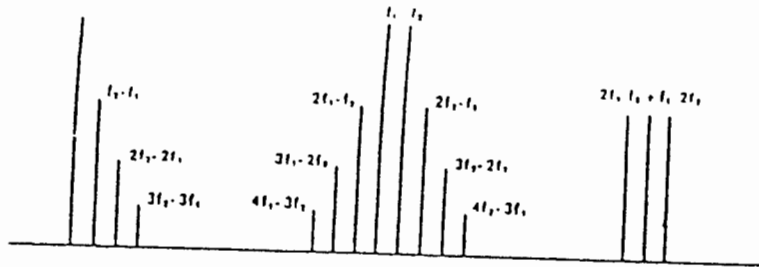
Γνωρίζοντας την ισχύ της θεμελιώδους = ισχύς φέροντος (Carrier)

Παραμόρφωση 2^{ου} τάξης: $= (P_{out} - P_{IM2}) = \Delta P_2 = \underline{(P_{IP2} - P_{out})}$ dB
σε dB κάτω από την ισχύ του φέροντος.

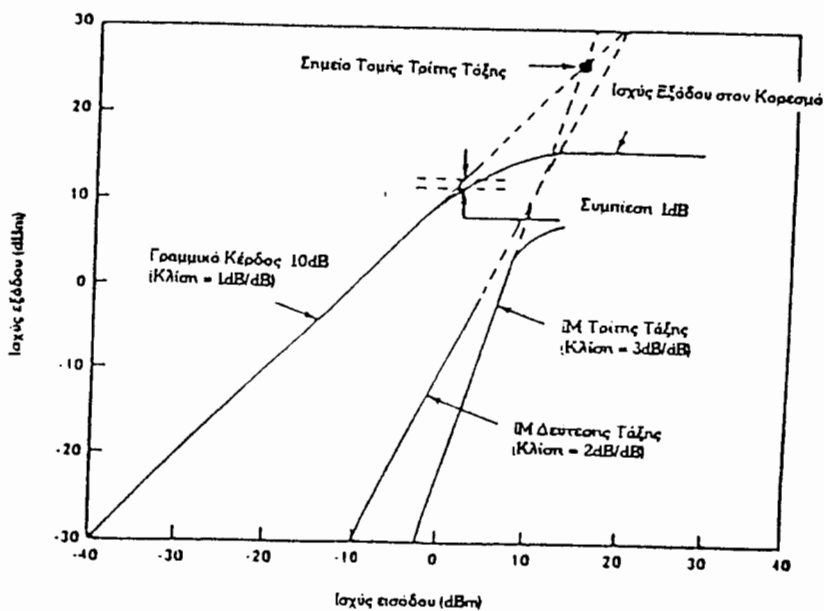
Παραμόρφωση 3^{ου} τάξης: $= (P_{out} - P_{IM3}) = 2 \Delta P_3 = \underline{2 \cdot (P_{IP3} - P_{out})}$ dB



Σχήμα 4-13. Σημείο συμπίεσης κέρδους ισχύος κατά 1 dB. [3, σελ.245]

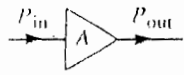
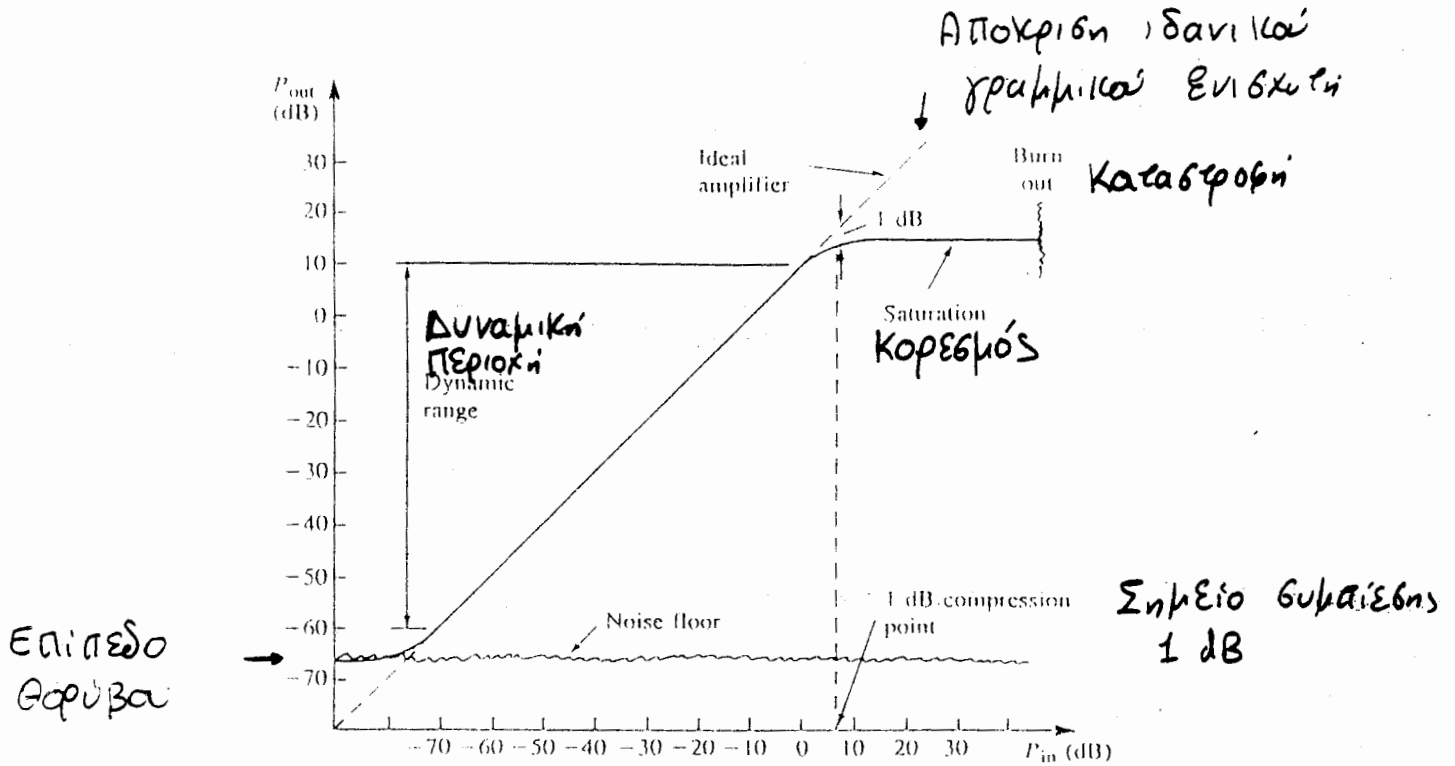


Σχήμα 4-14. Σχηματικό διάγραμμα του φάσματος δύο σημάτων με συχνότητες f_1 και f_2 και τα προϊόντα ενδοδιαμόρφωσης. [5, σελ.497]



Σχήμα 4-15. Η μεταβολή της ισχύος εξόδου και των προϊόντων ενδοδιαμόρφωσης συναρτήσει της ισχύος εισόδου για ένα μη-γραμμικό ενισχυτή. [5, σελ.497]

Δυναμική Περιοχή και Επίπεδο Θορύβου



Illustrating the dynamic range of a realistic amplifier.

(Pozar)

Επίπεδο θορύβου : -60 dBm έως -100 dBm
 ψυχόμενες συσκευές

Θέματα

1. ΣΧΕΔΙΑΣΜΟΣ ΕΝΙΣΧΥΣΗΣ Υψηλού Κέρδους (High Gain)
- Δίδονται τα φύλλα δεδομένων του τρανζίστορ και η συχνότητα (κεντρική) λειτουργίας.
 - Σκοπός, ο σχεδιασμός για μέγιστη μεταφορά ισχύος στην είσοδο και στην έξοδο. Ο τελικός ενισχυτής πρέπει να παρουσιάσει αντίσταση είσοδου και έξοδου 50Ω .
- α) Να μελετηθεί η ευστάθεια του τρανζίστορ.
 - β) Να προσδιοριστούν οι βέλτιστοι συντελεστές ανάκλασης πηγής και φορτίου ($\Gamma_S = ; \Gamma_L = ;$)
 - γ) Να σχεδιασθεί το κύκλωμα πόλωσης
 - δ) Να σχεδιασθούν τα κυκλώματα προσαρμογής είσοδου και έξοδου

2. ΣΧΕΔΙΑΣΜΟΣ ΕΝΙΣΧΥΣΗΣ χαμηλού θορύβου (LNA)
- Δίδονται τα φύλλα δεδομένων του τρανζίστορ και η κεντρική συχνότητα λειτουργίας
 - Σκοπός: ο σχεδιασμός για βέλτιστο δείκτη θορύβου και μέγιστη μεταφορά ισχύος στην έξοδο
- α) Να μελετηθεί η ευστάθεια του τρανζίστορ.
 - β) Να σχεδιαστούν οι κύκλοι σταθερού δείκτη θορύβου και σταθερού κέρδους είσοδου και έξοδου.
 - γ) Να επιλεχθεί ο κατάλληλος συντελεστής ανάκλασης φορτίου και πηγής ($\Gamma_L = ; \Gamma_S = ;$)
 - δ) Να σχεδιασθεί το κύκλωμα πόλωσης.
 - ε) Να σχεδιασθούν τα κυκλώματα προσαρμογής είσοδου και έξοδου ώστε $Z_{in} = 50 \Omega$, $Z_{out} = 50 \Omega$